ЗАКЛЮЧЕНИЕ

По данным измерения спектров фотолюминесценции и спектров возбуждения люминесценции определено значение оптической ширины запрещенной зоны $E_g \sim 1.122~\mathrm{3B}$ и $\sim 1.07~\mathrm{3B}$ при температурах $\sim 4.2~\mathrm{K}$ и 300 K для твердых растворов $\mathrm{Cu}(\mathrm{In}_{1-x},\mathrm{Ga}_x)(\mathrm{S}_y,\mathrm{Se}_{1-y})_2$ с соотношением элементов $x = \mathrm{Ga}/(\mathrm{Ga+In}) \sim 0.21~\mathrm{u}$ у $= \mathrm{S}/(\mathrm{S+Se}) \sim 0.11$. Предполагается, что при криогенных температурах $\sim 4.2~\mathrm{K}$ и 78 K процессы излучательной рекомбинации реализуются с участием квази-донор-акцепторных пар (полоса $\Phi \Pi \sim 0.93~\mathrm{3B}$) и энергетических уровней акцепторов (полоса $\Phi \Pi \sim 1.02~\mathrm{3B}$), а при комнатной температуре — через межзонные оптические переходы (полоса $\mathrm{BB} \sim 1.07~\mathrm{3B}$).

Работа выполнена по проекту БРФФИ Ф20М – 058 и Государственного задания Минобрнауки России («Спин» № АААА-А18-118020290104-2).

БИБЛИОГРАФИЧЕСКИЕ ССЫЛКИ

- Solar cell efficiency tables (Version 55) / M.A. Green [et al.] // Prog. Photovolt. Res. Appl. 2020. V. 28. – P. 3–15.
- 2. Determination of the band gap depth profile of the penternary $Cu(In_{(1-X)}Ga_X)(S_YSe_{(1-Y)})_2$ chalcopyrite from its composition gradient / M. Bär [et al.] // J. Appl. Phys. -2004. -V. 96, N = 7. -P. 3857–3860.
- 3. Cd-Free Cu(In,Ga)(Se,S)₂ Thin-Film Solar Cell With Record Efficiency of 23.35% / M. Nakamura [et al.] // IEEE J. Photovolt. 2019. V. 9, Iss. 6. P. 1863–1867.
- Enhancement of photovoltaic performances of Cu(In,Ga)(S,Se)₂ solar cell through combination of heat-light soaking and light soaking processes / J. Chantana [et al.] // Prog. Photovolt. Res. Appl. – 2018. – V. 26. – P. 868–876.
- 5. Karg, F.H. Development and manufacturing of CIS thin film solar modules / F.H. Karg // Sol. Energy Mater. Sol. Cells. 2001. V. 66. P. 645–653.
- Rapid CIS-process for high efficiency PV-modules: development towards large area processing / V. Probst [et. al.] // Thin Solid Films. – 2001. – V. 387. – P. 262–267.
- Karg, F. High Efficiency CIGS Solar Modules / F. Karg // Energy Procedia. 2012. V. 15. P. 275–282.
- 8. Band tailing and efficiency limitation in Kesterite solar cells / T. Gokmen [et. al] // Appl. Phys. Lett. 2013. V. 103. P. 103506-1–103506-5.
- 9. Леванюк, А.П. Краевая люминесценция прямозонных полупроводников / А.П. Леванюк, В.В. Осипов // УФН. 1981. Т. 133, №8. С. 427–477.

СПЕКТРЫ НАРУШЕННОГО ПОЛНОГО ВНУТРЕННЕГО ОТРАЖЕНИЯ ПЛЕНОК ДИАЗОХИНОН-НОВОЛАЧНОГО ФОТОРЕЗИСТА, ИМПЛАНТИРОВАННЫХ ИОНАМИ СУРЬМЫ

Д. И. Бринкевич, С. Д. Бринкевич, В. С. Просолович, Ю. Н. Янковский

Белорусский государственный университет, пр. Независимости, 4, 220030 Минск, Беларусь, e-mail: brinkevich@bsu.by

Методом ИК-Фурье спектроскопии нарушенного полного внутреннего отражения исследованы радиационно-индуцированные процессы, протекающие при имплантации ионов Sb^+ в пленки фоторезиста ФП 9120 на кремнии. Установлено, что ионная имплантация приводит к появлению в спектре полосы при 2331 см $^{-1}$, обусловле0нной валентными колебаниями $\mathrm{O}=\mathrm{C}=\mathrm{O}$. Нарушение адгезии на границе раздела

фоторезист/Si проявляется в появлении полосы 610 см⁻¹, связанной с решеточным поглощением кремния. Обнаружено образование новых С–О–С связей в результате эфирных сшивок кетена с ОН-группой новолачной смолы. Имплантации ионов Sb⁺ приводит к снижению интенсивности полосы, обусловленной валентными колебаниями С–О связей в феноксильной группе.

Ключевые слова: диазохинон-новолачный резист; имплантация; спектр нарушенного полного внутреннего отражения; кремний.

FRUSTRATED TOTAL INTERNAL REFLECTION SPECTRA OF DIAZOQUINONE-NOVOLAC PHOTORESIST FILMS IMPLANTED WITH ANTIMONY IONS

D. I. Brinkevich, S. D. Brinkevich, V. S. Prosolovich, Y. M. Yankouski

Belarusian State University, Nezavisimosti av. 4, 220030 Minsk, Belarus, Corresponding author: D. I. Brinkevich (brinkevich@bsu.by)

Radiation-induced processes occurring during the implantation of Sb⁺ ions into FP 9120 photoresist films on silicon have been investigated by FTIR spectroscopy. It was found that ion implantation leads to the appearance in the spectrum of a band at 2331 cm⁻¹, caused by stretching vibrations of O=C=O. Disruption of adhesion at the photoresist/Si interface manifests itself in the appearance of a 610 cm⁻¹ band associated with lattice absorption of Si. The formation of new C-O-C bonds as a result of ether cross-links of ketene with the OH-group of novolac resin was found. The implantation of Sb⁺ ions leads to a decrease in the intensity of the band caused by the stretching vibrations of C-O bonds in the phenoxyl group.

Key words: diazoquinon-novolac resist; implantation; frustrated total internal reflection spectrum; silicon.

ВВЕДЕНИЕ

Ранее показано, что при ионной имплантации полимеров радиационноиндуцированные процессы протекают не только в области пробега ионов, но и за его пределами [1,2]. Однако механизм процессов, ответственных за изменение физикомеханических свойств полимерных композитов за слоем внедрения ионов, не был установлен. Для исследования тонких пленок широко применяется метод ИК-Фурье спектроскопии нарушенного полного внутреннего отражения (НПВО), позволяющий получать качественную и количественную информацию о составе и структуре сложных органических соединений и их смесей в твердом агрегатном состоянии [3]. В настоящей работе метод ИК-Фурье спектрометрии НПВО был использован для изучения механизмов радиационно-индуцированной модификации свойств пленок диазохинон-новолачного (ДХН) фоторезиста при имплантации ионов Sb.

МАТЕРИАЛЫ И МЕТОДЫ

Пленки фоторезиста (ФР) толщиной 1.8 мкм наносились на поверхность пластин кремния марки КДБ-10 методом центрифугирования при скорости вращения v = 2900 об/мин [4]. Толщина пленок фоторезиста контролировалась с помощью профилометра «Dectak». Имплантация ионами сурьмы Sb⁺ проводилась с энергией 60 кэВ в интервале доз $\Phi = 1 \cdot 10^{15} - 5.10^{16}$ см⁻² при плотности ионного тока

j=4 мкА/см² в остаточном вакууме не хуже 10^{-5} мм. рт. ст. на ионно-лучевом ускорителе «Везувий-6». Спектры НПВО структур фоторезист-кремний в диапазоне волновых чисел $\nu=400$ —4000 см $^{-1}$ регистрировались при комнатной температуре ИК-Фурье спектрофотометром ALPHA (Bruker Optik GmbH). Разрешение было не хуже 2 см $^{-1}$, количество сканов — 24. Коррекция фона проводилась перед каждым измерением

РЕЗУЛЬТАТЫ И ОБСУЖДЕНИЕ

После имплантации Sb^+ дозой свыше $5\cdot 10^{15}$ см $^{-2}$ в спектрах НПВО появляется узкая симметричная полоса с максимумом при $2331\,\mathrm{cm}^{-1}$. Ее интенсивность растет пропорционально увеличению дозы имплантации (рис.1). Этот диапазон волновых чисел характерен для валентных колебаний кумулятивных двойных связей [5, 6]. Вероятнее всего, указанная полоса обусловлена ассиметричными валентными колебаниями $\mathrm{O=C=O}$. Так, колебания $\mathrm{CO_2}$ в газах дают очень сильную полосу поглощения с максимумом при $2349\,\mathrm{cm}^{-1}$, используемую для градуировки спектрофотометров [5]. В жидких растворителях газообразный $\mathrm{CO_2}$ согласно [6] обуславливает поглощение в диапазоне волновых чисел $2325-2335\,\mathrm{cm}^{-1}$.

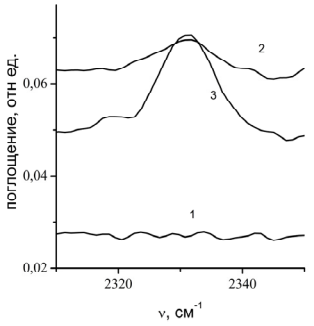
Основной причиной появления в спектре имплантированных пленок резиста полосы 2331 см⁻¹, вероятнее всего, является радиационно-индуцированное разложение остаточных растворителей, которые содержат ацетатный фрагмент, например, бутилацетата, 2-метоксиэтилацетата. Эти вещества входят в состав рецептур растворов ДХН-резистов. Поскольку их температуры кипения составляют 126 °C и 145 °C соответственно, они полностью не удаляются из тонких пленок при сушке. Жесткая структура сетки фенол-формальдегидной смолы может удерживать небольшие количества растворителей даже при глубоком вакууме в процессе ионной имплантации. При облучении органических сложных эфиров, в том числе и ацетатов, СО₂ является одним из основных продуктов радиолиза [7].

Тот факт, что мы регистрируем CO_2 в качестве продукта радиолиза ДХН-резиста может быть связан как с малой скоростью диффузии этого газообразного соединения в объеме полимера, так и с формированием у поверхности пленки в области пробега ионов (вследствие термализации ионов Sb^+) своеобразной «корки» из плотно сшитого полимерного компаунда, снижающего унос CO_2 и других летучих продуктов из пленки в условиях глубокого вакуума при ИИ.

В низкоэнергетичной области после имплантации Sb^+ в диапазоне волновых чисел 590-610 см $^{-1}$ появляется широкая структурированная полоса с несколькими слабо выраженными максимумами, а также низкоинтенсивная полоса при $\sim 510~\mathrm{cm}^{-1}$ (рис. 2). Интенсивность этих полос с увеличением дозы имплантации существенным образом не изменялась (кривые 2, 3, рис. 2). Аналогичные полосы с существенно большей интенсивностью наблюдаются в спектре НПВО кремниевой подложки (кривая 4, рис. 2) и связаны с решеточным поглощением Si [8].

Появление в спектре НПВО имплантированного фоторезиста полосы в диапазоне волновых чисел 590–610 см $^{-1}$ и низкоинтенсивной полосы при ~ 510 см $^{-1}$ обусловлено следующими обстоятельствами. Как отмечалось выше, эффективная глубина проникновения излучения в фоторезистивную пленку составляет $d_{\rm эф} \sim 0.45~\lambda$. В диапазоне волновых чисел 500–700 см $^{-1}$ $d_{\rm эф} \sim 16$ мкм, что почти на порядок величины превосходит толщину фоторезистивной пленки. Таким образом, в указанном диапазоне имеет место отражение излучения от границы раздела резист/кремний, что и обу-

славливает появление в спектре НПВО фоторезистивной пленки полосы в диапазоне волновых чисел $590\text{--}610~\text{cm}^{-1}$. Ее проявление после внедрения ионов Sb^+ связано с ухудшением адгезии фоторезистивной пленки к кремнию. Резкое снижение адгезии (вплоть до отслоения) после имплантации Sb^+ в фоторезистивную пленку ФП 9120 на кремнии отмечалось ранее в работе [9]. В работе [10] обнаружено усиление отражения в имплантированных сурьмой пленках диазохинонноволачного резиста на кремнии. Эти экспериментальные данные подтверждают высказанное выше предположение, что полосы в диапазоне волновых чисел $590\text{--}610~\text{cm}^{-1}$ и при $\sim 510~\text{cm}^{-1}$ обусловлены отражением излучения от кремния.



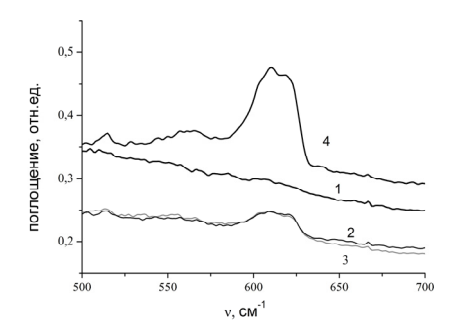


Рисунок 1. — Спектры НПВО исходной (1) и имплантированных ${
m Sb}^+$ дозами $1\cdot 10^{16}$ см $^{-2}$ (2) и $5\cdot 10^{16}$ см $^{-2}$ (3) пленок ФП9120 в области двойных кумулятивных связей

Рисунок 2. – Спектры НПВО исходной (I) и имплантированных Sb $^+$ дозами $1\cdot 10^{15}$ см $^{-2}$ (2) и $5\cdot 10^{16}$ см $^{-2}$ (3) пленок ФП9120 и кремниевой подложки (4)

Об ухудшении адгезии пленки ΦP к кремнию свидетельствует также исчезновение после имплантации максимума полосы НПВО при $\sim 1070~{\rm cm}^{-1}$, наблюдавшегося в исходных образцах на низкоэнергетичном крыле полосы с максимумом при $1100~{\rm cm}^{-1}$ (рис. 3). При дозе $1\cdot 10^{15}~{\rm cm}^{-1}$ его интенсивность снижается, а при $\Phi \geq 5\cdot 10^{15}~{\rm cm}^{-1}$ он не проявляется вообще. Отметим, что полоса с максимумом при $1070~{\rm cm}^{-1}$ является наиболее интенсивной полосой ИК поглощения в тетраэтоксисилане и обусловлена валентными ассиметричными колебаниями Si-O-C группы [11]. Согласно [12] эта группа обеспечивает адгезию пленки $\Phi \Pi$ 9120 к кремнию.

По нашему мнению, к снижению адгезии ДХН-резиста к кремниевой пластине может приводить целый ряд факторов, включая изменение плотности полимера вследствие сшивания макромолекул в объеме, деформация пленки из-за формирования компаунда в зоне термализации ионов Sb^+ , а также накопление газообразных и легколетучих продуктов радиолиза на границе раздела фаз полимер-кремний.

Интенсивность полосы в диапазоне волновых чисел 1150-1230 см $^{-1}$, обусловленной валентными колебаниями C-O связей в феноксильной группе (СОН) снижается при имплантации ионов Sb $^+$ (рис. 3). В исходных образцах это широкая структурированная полоса с 3-мя выраженными максимумами: при ~ 1150 см $^{-1}$; ~ 1170 см $^{-1}$ и ~ 1200 см $^{-1}$. Ее интенсивность выше интенсивности полосы 1100 см $^{-1}$. В процессе имплантации сначала при $\Phi = 1 \cdot 10^{15}$ см $^{-2}$ пропадает максимум при ~ 1150 см $^{-1}$, а затем при ~ 1200 см $^{-1}$. Интенсивность полосы в диапазоне волновых чисел 1150-1200 см $^{-1}$ становится ниже интенсивности полосы при 1100 см $^{-1}$ (кривая 2, рис. 3). Полоса теряет

структуру и при $\Phi = 5 \cdot 10^{16} \ \text{cm}^{-2}$ проявляется в спектрах как перегиб на высокоэнергетичном плече полосы при $1100 \ \text{cm}^{-1}$.

Такое поведение полос НПВО в диапазоне волновых чисел 1050–1230 см⁻¹ свидетельствует о взаимодействии в процессе имплантации кетена с ОН-группой смолы с образованием эфирных сшивок по реакции (1). С другой стороны, аналогичный эффект может давать также окисление фенолов до хинонов, в результате которого группа С-ОН превращается в С=О. Однако последний механизм маловероятен, поскольку после имплантации существенного усиления поглощения в области ~ 1715–1730 см⁻¹, обусловленного колебаниями С=О в ароматических соединениях [5, 6], не наблюдалось.

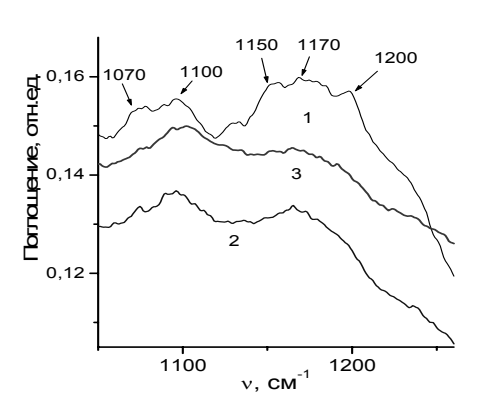


Рисунок 3 — Спектры НПВО исходной (I) и имплантированных Sb^+ дозами $1\cdot 10^{15}$ см $^{-2}$ (2) и $5\cdot 10^{16}$ см $^{-2}$ (3) пленок ФП9120 в области валентных колебаний Si-O-C и C-O связей

Отметим, что кетен образуется при ионной имплантации из фоточувствительного компонента резиста — орто-нафтохинондиазида [12]. В результате эфирных сшивок образуются C-O-C связи, валентные колебания которых обуславливают полосу с максимумом при $1100~{\rm cm}^{-1}$. Кроме того, C-O-C связи могут образоваться и при рекомбинации радикалов на фенолформальдегидном полимере [12]. Все это приводит к доминированию полосы $1100~{\rm cm}^{-1}$ по отношения к обусловленной колебаниями C-O связей полосы $\sim 1170~{\rm cm}^{-1}$.

О протекании реакции (1) свидетельствует также снижение при имплантации Sb^+ интенсивности полосы в диапазоне волновых чисел $3000–3700~\mathrm{cm}^{-1}$, обусловленной валентными колебаниями связанных О-Н групп, смещение ее максимума в высокоэнергетичную область и появление на ее высокоэнергетичном плече перегиба при $\sim 3600~\mathrm{cm}^{-1}$.

При имплантации наблюдалось удаление из пленки формальдегида CH_2 =O, не прореагировавшего с фенолом при синтезе полимерной основы резиста, что проявлялось как исчезновение полосы с максимумом $\sim 1650~{\rm cm}^{-1}$, обусловленной валентными колебаниями C=O связей, и слабой полосы при $\sim 1130~{\rm cm}^{-1}$, связанной с деформационными плоскостными колебаниями. Обе эти полосы наблюдаются в спектрах формальдегида [5, 13]. Удаление CH_2 =O обусловлено его высокой реакционной способностью по отношению к электронам, атомам водорода и большинству органических радикалов, образующихся при ИИ в полимере.

Имплантация ионов Sb⁺ приводит к увеличению интенсивности интегрального поглощения в диапазоне волновых чисел 1475–1650 см⁻¹ при одновременном уширении полос поглощения и сглаживании (вплоть до исчезновения) локальных максимумов. В этом диапазоне наблюдаются колебания углеродного скелета ароматического кольца [5]. На них накладываются валентные симметричные (1475–1525 см⁻¹ [5]) и ассиметричные (1620–1760 см⁻¹ [14] колебания С=О связей. Приведенные экспериментальные данные могут быть обусловлены несколькими процессами, протекающими во время имплантации. В частности, могут наблюдаться трансформация (изменение состава) ближайших заместителей ароматических колец и связей С=О, усиление меж- и внутримолекулярных связей (спивка), увеличение количества сопряженных кратных связей. Кажлый из этих факторов приводит к изменению частоты колебаний скелета ароматического кольца и двойных связей. Так полоса валентных колебаний С=О связей в ароматических соединениях, в частности в бензальдегиде [14] и О-нафтхинонхинондиазиде, наблюдается при 1700–1715 см⁻¹. При сопряжении с C=C связями максимум полосы этих колебаний смещается в диапазон волновых чисел 1600–1650 см⁻¹. Участие С=О группы в межмолекулярных водородных связях также приводит к снижению частоты ее валентных колебаний на 40-60 см⁻¹ [6]. В сложных ароматических эфирах напротив максимум полосы валентных колебаний С=О группы смещается к 1715–1735 см⁻¹ [6]. Суммарное действие перечисленных выше факторов должно приводить к уширению полос колебаний и сглаживанию их максимумов, что и наблюдалось экспериментально.

ЗАКЛЮЧЕНИЕ

Таким образом, установлено, что имплантация Sb^+ приводит к появлению в спектре НПВО пленок позитивного диазохинон-новолачного фоторезиста ФП 9120 полосы при 2331 см $^{-1}$, обусловленной валентными колебаниями O=C=O. Нарушение адгезии на границе раздела фоторезист/кремний способствует появлению полосы при $610~\mathrm{cm}^{-1}$, связанной с решеточным поглощением Si . Обнаружено образование C-O-C связей в результате эфирных сшивок кетена с OH-группой новолачной смолы. При имплантации наблюдалось также удаление непрореагировавшего формальдегида.

БИБЛИОГРАФИЧЕСКИЕ ССЫЛКИ

- Модификация приповерхностной области пленки полиимида имплантацией ионов бора / А.А. Харченко [и др.] // Поверхность. Рентген., синхротр. и нейтрон. исслед. – 2015. – № 1. – С.94–99.
- 2. Радиационно-стимулированная модификация спектров отражения за областью пробега ионов в пленках полиимида / Д.И. Бринкевич [и др.] // Поверхность. Рентген., синхротр. и нейтрон. исслед. 2017. № 8. С.25–30.
- 3. Беккер, Ю. Спектроскопия. / Ю.Беккер. М.: Техносфера, 2009 528 с.
- 4. Модификация спектров отражения пленок диазохинон-новолачного фоторезиста при имплантации ионами бора и фосфора / Д.И. Бринкевич [и др.] // Микроэлектроника -2019 − -1.48, № -1.48
- 5. Тарасевич, Б.Н. ИК спектры основных классов органических соединений. Справочные материалы. / Б.Н. Тарасевич. М: МГУ, 2012 . . 54 с.
- 6. Преч, Э., Бюльманн Ф., Аффольтер К. Определение строения органических соединений. Таблицы спектральных данных. / Э. Преч, Ф. Бюльманн, К. Аффольтер. М: Мир, Бином; 2006 439 с.
- 7. Пикаев, А.К. Современная радиационная химия: Радиолиз газов и жидкостей. / А.К. Пикаев М.: Наука, 1986. 360 с.
- 8. Панков, Ж. Оптические процессы в полупроводниках. / Ж. Панков. М.: Мир, 1973. 458 с.
- 9. Ионная имплантация позитивных фоторезистов / Д.И. Бринкевич [и др.] // Микроэлектроника. 2014. —Т.43, № 3. С.193—199.

- Радиационно-стимулированная трансформация спектров отражения пленок диазохинонноволачного фоторезиста при имплантации ионов сурьмы / А.А. Харченко [и др.] // Поверхность, Рентген., синхротр. и нейтрон, исслед. – 2020. – № 6. – С.14–18.
- 11. Механизм адгезионного взаимодействия пленок диазохинон-новолачного фоторезиста с монокристаллическим кремнием / Бринкевич С.Д. [и др.] // Журнал прикладной спектроскопии. 2020. Т.87, № 4. С.589–594.
- 12. Адгезия к монокристаллическому кремнию пленок диазохинон-новолачного фоторезиста, имплантированных ионами бора и фосфора / С.А. Вабищевич [и др.] // Химия высоких энергий. 2020. Т.54, № 1. С. 54–59.
- 13. Characterization of Phenol-Urea- Formaldehyde Resin by Inline FTIR Spectroscopy / I. Poljansek [et al.] // Journal of Applied Polymer Science 2006 V. 99. C.2016–2028.c.
- 14. Инфракрасные спектры и структура молекулярных комплексов ароматических кислот / М.В. Бельков [и др.] // Журнал прикладной спектроскопии. 2011. Т.78, № 6. С.851-858.

АДГЕЗИОННЫЕ И ПРОЧНОСТНЫЕ СВОЙСТВА ПЛЕНОК ДИАЗОХИНОН-НОВОЛАЧНОГО ФОТОРЕЗИСТА НА КРЕМНИИ, ОБЛУЧЕННЫХ ГАММА-КВАНТАМИ

С. А. Вабищевич², Д. И. Бринкевич¹, Н. В. Вабищевич², В. С. Просолович¹, Ю. Н. Янковский¹

¹⁾ Белорусский государственный университет, пр. Независимости, 4, 220030 Минск, Беларусь
²⁾ Полоцкий государственный университет, ул. Блохина, 29,
211440 Новополоцк, Беларусь, e-mail: vabser@tut.by

Методом микроиндентирования исследованы структуры фоторезист $\Phi\Pi$ 9120-кремний, облученные γ -квантами 60 Со дозами до 300 кГр. Облучение γ -квантами приводит к снижению микротвердости структур фоторезист-кремний при нагрузках 5 г и выше, что связано с ухудшением адгезии пленки диазохинонноволачного фоторезиста $\Phi\Pi$ 9120 к кремнию после γ -облучения. Удельная энергия отслаивания пленок фоторезиста толщиной 1,0 мкм снижается после облучения γ -квантами в 1,5–4 раза, что обусловлено, вероятнее всего, разрывом связей Si–O–C на границе раздела фоторезист-кремний. Заметные изменения прочностных и адгезионных свойств структур фоторезист-кремний наблюдались при дозах γ -квантов свыше 200 кГр.

Ключевые слова: диазохинон-новолачный резист; у-облучение; микротвердость; адгезия.

ADHESION AND STRENGTH PROPERTIES OF DIAZOQUINONE-NOVOLACH PHOTORESIST FILMS ON SILICON, IRRADIATED WITH GAMMA-QUANTA

S. A. Vabishchevich², D. I. Brinkevich¹, N. V. Vabishchevich², V. S. Prosolovich¹, Y. M. Yankouski¹

¹⁾ Belarusian State University, Nezavisimosti av. 4, 220030 Minsk, Belarus, ²⁾ Polotski State University, Blohina str. 29, 211440 Novopolotsk, Belarus, Corresponding author: V. S. Vabishchevich (vabser@tut.by)

Photoresist FP9120 – silicon structures irradiated with 60 Co γ -quanta at doses up to 300 kGy were studed by the microindentation method. Irradiation with γ -quanta leads to a